

## HDEHP萃取单核Rh(III)和Ir(III)

### 水合阳离子的机理\*

王祥云 蒋 明 叶 彪 刁新起

(北京大学技术物理系)

关键词 萃取, HDEHP, Rh, Ir。

用UV-Vis, IR及斜率法研究HDEHP的苯溶液萃取单核Rh(III)和Ir(III)水合阳离子的机理, 证明Rh(III)和Ir(III)以离子对 $[M(H_2O)_6](HA)_3$  (HDEHP简写为HA)的形式进入有机相。

### 前 言

关于二(2-乙基己基)磷酸(简称HDEHP)萃取各种金属离子的机理已做过大量研究<sup>[1]</sup>。除碱金属离子外, 其余金属离子在低酸度下一般都脱去水合水进入有机相, 萃合物中HDEHP的氧原子直接参与配位。我们在文献[2]中对HDEHP萃取Rh(III), Ir(III)和Pd(II)水合阳离子的机理做了初步探讨。本文研究了HDEHP萃取用离子交换法分出的单核Rh(III)和Ir(III)水合阳离子 $[M(H_2O)_6]^{3+}$ 的机理。

### 实 验 部 分

#### 1. 药剂与仪器

(1) 药剂  $RhCl_3 \cdot xH_2O$  溶液由溶解  $RhCl_3 \cdot xH_2O$  (Koch-Light 产品, 纯度 99.9%) 于蒸馏水制得。 $RhCl_3$  标准溶液及 Ir(IV) 盐酸溶液用熔融法<sup>[3]</sup>由金属 Rh 粉(自制, 纯度 99.9%) 和金属 Ir 粉(JMC 产品, 纯度 99.95%) 制备。 $(NH_4)_2RhCl_6$  和  $(NH_4)_2IrCl_6$  按文献[4]制备。HDEHP(北京化工厂产品, 化学纯) 用铜盐结晶法<sup>[5]</sup>纯化, 产品纯度 99.9%,  $n_D^{20} = 1.4420$ 。阳离子交换树脂 2×12, (150—200 mesh, 北京铀矿选冶研究所产品) 经常规方法处理后转化成  $H^+$  型。其余试剂均为分析纯。

(2) 仪器 溶液 UV-Vis 谱用岛津 UV-240 型紫外-可见分光光度计测量。萃合物的 IR 谱

\* 中国科学院科学基金资助的课题。

1985年5月29日收到。

用Perkin Elmer 683型红外光谱仪测量。溶液pH值用Orion Research 811型酸度计或pHS-3型酸度计测量。比色分色在721型分光光度计上进行。放射性活度用ET-603型井形碘化钠探头配以FH-408自动定标器(北京核仪器厂产品)测量。

## 2. 分析方法

Rh用氯化亚锡比色法<sup>[6]</sup>测定。Ir的相对浓度用<sup>192</sup>Ir放射性示踪法测定。为保证示踪剂<sup>192</sup>Ir与待测Ir处于完全相同的化学状态，二者混合后加入盐酸至3—6M，煮沸4小时以上。

## 3. 单核水合阳离子的制备

[Ir(H<sub>2</sub>O)<sub>6</sub>]<sup>3+</sup>按Beulter等<sup>[7]</sup>的方法制备。[Rh(H2O)6]3+的制备参照上法进行。往含Rh10mg/ml的RhCl<sub>3</sub>溶液中加入盐酸至2M，煮沸1小时，冷却后加入0.1M的NaOH溶液至pH~12，沉淀生成后置于35—40℃的水浴中放置半小时，得浅黄色的Rb<sub>2</sub>O<sub>3</sub>·xH<sub>2</sub>O沉淀，pH值下降至8左右。将其置于冰箱中5℃下放置半小时，取出后过滤，用蒸馏水洗涤沉淀至无Cl<sup>-</sup>离子。将沉淀溶于0.1M的HClO<sub>4</sub>中。将所得溶液流经H<sup>+</sup>型阳离子交换树脂床(Φ8.5×128mm)，用蒸馏水洗柱至流出液呈中性，再用1MHClO<sub>4</sub>洗脱电荷低于3+的混配Rh(Ⅲ)离子，最后用6MHClO<sub>4</sub>淋洗，得[Rh(H<sub>2</sub>O)<sub>6</sub>]<sup>3+</sup>溶液。拖尾部分弃去，因其中含多核的Rh络合物。为了制得高浓度的[Rh(H<sub>2</sub>O)<sub>6</sub>]<sup>3+</sup>溶液，将离子交换法制得的单核Rh(Ⅲ)水合阳离子用氨水重新沉淀(pH~6)一次，用NaClO<sub>4</sub>彻底洗涤沉淀，溶解在0.1MHClO<sub>4</sub>—0.9MNaClO<sub>4</sub>中备用<sup>[8]</sup>。

## 4. 斜率法研究萃取反应的化学计量关系

(1)lgD-lg[H<sub>2</sub>A<sub>2</sub>]关系的测定 将[M(H<sub>2</sub>O)<sub>6</sub>]<sup>3+</sup>的高氯酸溶液加到HAc-NaAc( $\mu=1.0$ , pH4.74±0.01或pH4.84±0.01)中，加入等体积事先用该种缓冲溶液平衡过不同浓度的HDEHP-苯溶液，室温下振荡5min，静置分层，分析原始水相与平衡水相中的Rh或Ir的浓度，对于Ir，还分析其有机相中的浓度。

(2)lgD-pH关系的测定 维持有机相中的HDEHP浓度恒定，含[M(H<sub>2</sub>O)<sub>6</sub>]<sup>3+</sup>的水相用1MNaAc或1MHClO<sub>4</sub>调节pH，在相比 $\alpha=1$ 及室温下振荡5min，静置分层，分析原始水相和平衡水相中的Rh或Ir的浓度，对于Ir，还分析其有机相中的浓度。

## 5. UV-Vis谱及IR谱的测量

由于HDEHP、HAc、Ac<sup>-</sup>、苯及ClO<sub>4</sub><sup>-</sup>在紫外区均有不同程度的吸收，故样品的UV-Vis谱均相对于试剂空白测量。有机相的IR谱制成为液膜敷涂在KBr片上测量。

## 结果与讨论

用离子交换法分离出的Rh(Ⅲ)和Ir(Ⅲ)的UV-Vis谱示于图1及图2。它们的吸收峰位置分别与文献报道的[Rh(H<sub>2</sub>O)<sub>6</sub>]<sup>3+</sup>( $^1A_{1g}\rightarrow^1T_{2g}$ , 310nm;  $^1A_{1g}\rightarrow^1T_{1g}$ , 393nm<sup>[9]</sup>)及[Ir(H<sub>2</sub>O)<sub>6</sub>]<sup>3+</sup>( $^1A_{1g}\rightarrow^1T_{2g}$ , 265nm;  $^1A_{1g}\rightarrow^1T_{1g}$ , 310nm<sup>[7]</sup>)相符，说明它们确实处于单核水合阳离子状态。图1和图2还分别示出萃取到有机相的Rh(Ⅲ)和Ir(Ⅲ)的UV-Vis谱，它

们与相应的单核水合阳离子的UV-Vis谱基本相同。由于纯有机相在紫外区有很强的吸收，Rh(III)和Ir(III)浓度又比较低，因而以纯有机相作参比得出的萃合物的UV-VIS谱误差比较大，HDEHP在光谱化学序列中的位置文献中未曾报道，其f因子<sup>[10]</sup>似应与H<sub>2</sub>O(f=1)相近。因此，仅从萃合物与[M(H<sub>2</sub>O)<sub>6</sub>]<sup>3+</sup>的UV-Vis谱相似这一点尚不足以区分萃合物中究竟是H<sub>2</sub>O还是HDEHP的氧原子参与配位。

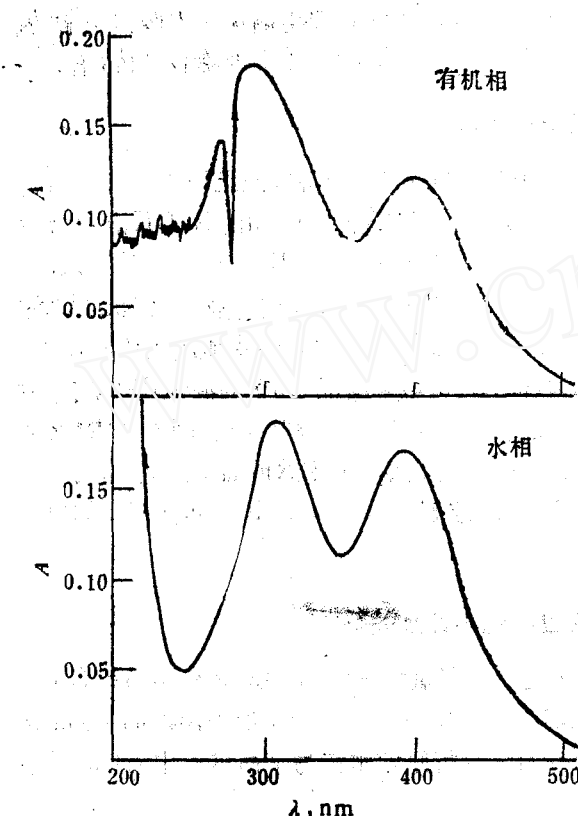


图1 原始水相和萃取平衡有机相中的Rh(III)的UV-Vis谱

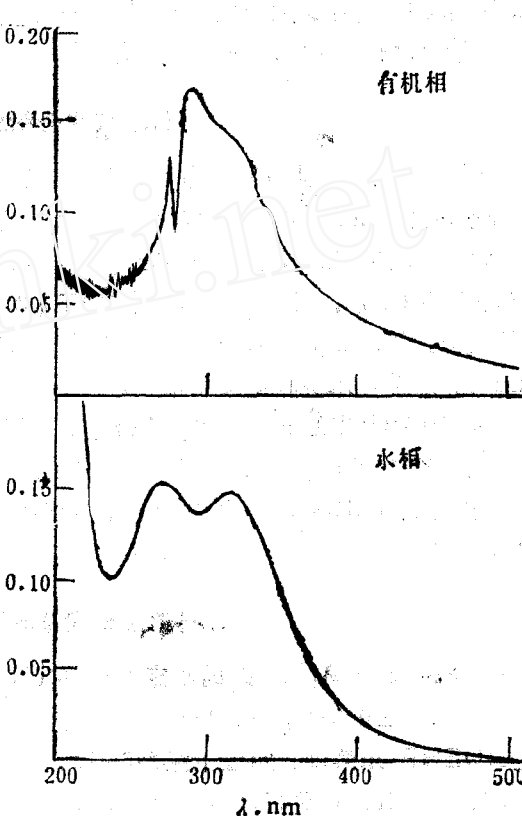


图2 原始水相和萃取平衡有机相中的Ir(III)的UV-Vis谱

图3示出负载三个不同浓度的Rh(III)的HDEHP-苯溶液的红外光谱。为了比较，该图还示出未皂化的、皂化过的以及负载Co(II)的HDEHP-苯溶液的红外光谱。因为醋酸在苯中有一定的溶解度，为了不使红外光谱过于复杂，原始水相中未加NaAc-HAc缓冲溶液。该图表明，负载Rh(III)有机相的红外光谱在3500—3700cm<sup>-1</sup>区无OH<sup>-</sup>特有的尖峰，故萃合物中不含OH<sup>-</sup><sup>[11]</sup>。皂化过的有机相的红外光谱在3400cm<sup>-1</sup>处有一强的宽峰，它是Na<sup>+</sup>带入的水化水及少量溶解水的伸缩振动峰，随着萃取的Rh(III)的量的增加，该峰逐渐下降，在~3000cm<sup>-1</sup>处的峰逐渐增加，我们认为，这是Rh(H<sub>2</sub>O)<sup>3+</sup>取代有机相的Na<sup>+(aq)</sup>的结果，因为H<sub>2</sub>O分子与金属M配位以后，O-H键随M不同而有不同程度的削弱，ν<sub>O-H</sub>会有不同程度的下降。例如，CoF<sub>2</sub>·4H<sub>2</sub>O、VF<sub>3</sub>·3H<sub>2</sub>O及CrF<sub>3</sub>·3H<sub>2</sub>O的ν<sub>O-H</sub>分别为3400、3250和3150cm<sup>-1</sup><sup>[12]</sup>，与H<sub>2</sub>O类似，NH<sub>3</sub>作为配体，其ν<sub>N-H</sub>有以下顺序：NH<sub>3</sub>>[Ni(NH<sub>3</sub>)<sub>6</sub>]<sup>2+</sup>>[Cr(NH<sub>3</sub>)<sub>6</sub>]<sup>3+</sup>>[Co(NH<sub>3</sub>)<sub>6</sub>]<sup>3+</sup>>[NH<sub>4</sub><sup>+</sup>]<sup>[13]</sup>。因此，萃合物红外光谱上~3000cm<sup>-1</sup>处的宽峰

可以作为Rh(III)以水合离子进入有机相的证明。 $H_2O$ 与 $M^{3+}$ 配位以后，若不与阴离子生成氢键，则应观察到M-O伸缩振动及 $H_2O$ 分子的滚动、摆动及扭动峰<sup>[14]</sup>；若与阴离子生成氢键，则应观察到两种摆动（有限转动）峰<sup>[15]</sup>（ $300-600\text{cm}^{-1}$ ）。萃合物在 $500\text{cm}^{-1}$ 以下有明显抬起，可能属于后面一种情况。已知 $Co^{2+}$ 被HDEHP萃取是脱去水合水进入有机相的（颜色由粉红变成深兰，配位数由6变为4），其红外谱没有上述现象。最后，从磷酰键的伸缩振动频率 $\nu_{P=O}$ 看，未皂化的HDEHP为 $1220\text{cm}^{-1}$ ，萃取 $Co^{2+}$ 后变为 $1187\text{cm}^{-1}$ ，这是磷酰氧与 $Co^{2+}$ 直接配位的结果。皂化后和萃取Rh(III)后的 $\nu_{P=O}$ 分别为 $1210$ 和 $1155\text{cm}^{-1}$ ，可能是 $P-O^-$ 与 $HO-P$ 、 $Na^+$ 的水合水及Rh(III)的配位水生成强度不同的氢键的结果。Rh(III)与HDEHP的萃合物相对于未皂化的HDEHP，其 $\nu_{P=O}$ 有较大的下降不是磷酰氧直接与Rh(III)配位引起的。

HDEHP萃取Rh(III)和Ir(III)的动力学也支持上述看法。 $[Rh(H_2O)_6]^{3+}$ 和 $[Ir(H_2O)_6]^{3+}$ 对于配位水的取代反应是高度惰性的，前者的取代反应速率常数 $k_1 < 10^{-6}\text{s}^{-1}$ <sup>[16]</sup>，后者的 $k_1$ 还要小。实验观察到Rh(III)和Ir(III)被HDEHP的萃取在5min内即可达到平衡。在这样短的时间内，HDEHP的酸根 $HA_2^-$ 取代配位的 $H_2O$ 分子是不可能的。

$[Rh(H_2O)_6]^{3+}$ 及 $[Ir(H_2O)_6]^{3+}$ 在水相与HDEHP-苯相间的分配比D与HDEHP的二聚物 $H_2A_2$ 的浓度的关系示于图4。由于实验中的Rh(III)和Ir(III)浓度比HDEHP浓度低得多，所以自由的HDEHP浓度实际上就等于其总浓度。二聚物浓度按文献[17]计算。图4说明， $lgD$ 与 $lg[H_2A_2]$ 呈直线关系，斜率对Rh和Ir均约为3。

Rh(III)和Ir(III)的分配比与平衡水相pH的关系示于图5及图6。由图可见， $lgD$ 随pH增加而增加，但不成直线关系。这种现象可用 $[Rh(H_2O)_6]^{3+}$ 和 $[Ir(H_2O)_6]^{3+}$ 在水溶液中发生酸式解离来解释。根据Meyenburg等人<sup>[18]</sup>对 $[Cr(H_2O)_6]^{3+}$ 的水解及Gamsjager等人<sup>[19]</sup>对 $[Ir(H_2O)_6]^{3+}$ 的水解的研究结果，惰性水合阳离子水解时聚合反应很慢，短时间内无多

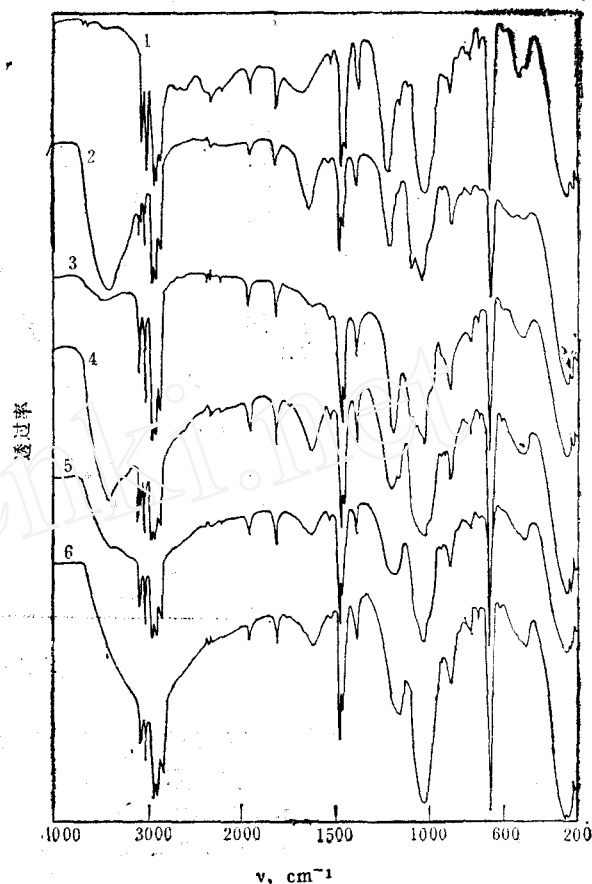


图3 纯有机相、负载Rh(III)及Co(II)的有机相的红外光谱

有机相：HDEHP-苯，

1—未皂化；2—皂化80%，3—皂化80%，负载 $Co(II)$ ；4—皂化80%，负载Rh(III)， $0.05M$ ；  
5—皂化80%，负载Rh(III)， $0.08M$ ，6—皂化80%，负载Rh(III)， $0.10M$ 。

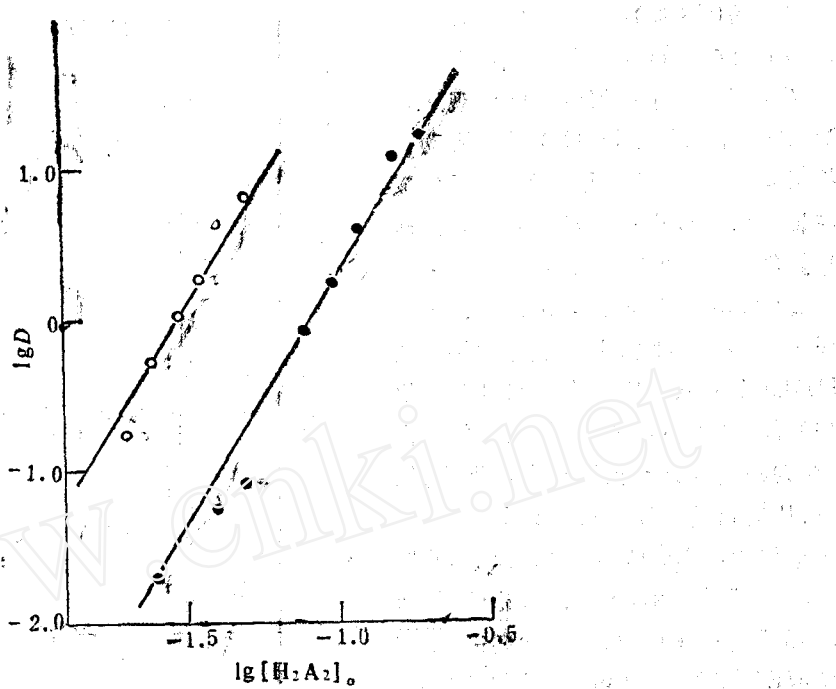
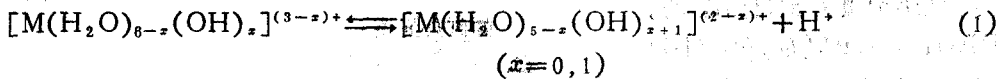


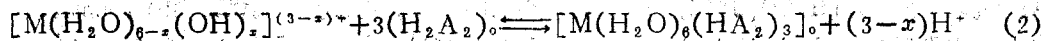
图 Rh(III)和Ir(III)分配比D与HDEHP二聚物浓度 $[H_2A_2]_o$ 的关系

●—Rh(III), pH4.74±0.01;  
○—Ir(III), pH4.84±0.01。

核水解产物生成。因此，在生成 $Rh_2O_3(aq)$ 沉淀之前，溶液中存在以下平衡关系：



根据红外光谱及 $\lg D-\lg [H_2A_2]_o$ 实验结果，可以认为萃取机理为



分配比D可表示为

$$D = K_{ex} \cdot \frac{[H_2A_2]_o^3}{a_{H^+}^3} \cdot \frac{[M(H_2O)_6]^{3+}}{\sum_{x=0}^3 [M(H_2O)_{6-x}(OH)_x]^{(3-x)+}} \quad (3)$$

$$= K_{ex} \cdot \frac{[H_2A_2]_o^3}{a_{H^+}^3 + K_1 a_{H^+}^2 + K_2 a_{H^+}} \quad (3)$$

上式中 $a_{H^+}$ 为 $H^+$ 的活度； $K_1$ 、 $K_2$ 分别为 $[M(H_2O)_6]^{3+}$ 的一级和二级酸式解离常数； $K_{ex}$ 为 $[M(H_2O)_6]^{3+}$ 的萃取平衡常数；

$$K_{ex} = \frac{[M(H_2O)_6(HA_2)_3]_o \cdot a_{H^+}}{[M(H_2O)_6]^{3+} [H_2A_2]_o^3} \quad (4)$$

Rh(III)的 $\lg D-pH$ 平均斜率约为1.5，故溶液中主要络合物为 $[M(H_2O)_6(OH)]^{3+}$ 、 $[M(H_2O)_4(OH)_2]^{+}$ 和 $[M(H_2O)_6]^{3+}$ ，取 $[Rh(H_2O)_6]^{3+}$ 的 $K_1$ 为 $3.98 \times 10^{-4} [1]$ ，将实验数据对(3)式拟合得

$$K_2 = 8.40 \times 10^{-4}, K_{ox}/K_1 = 1.33 \times 10^{-2}, K_{ox} = 5.29 \times 10^{-6}.$$

$\text{Ir(III)}$  的  $\lg D$ -pH 曲线平均斜率约为 1.2, 故溶液中主要络合物为  $[\text{Ir}(\text{H}_2\text{O})_4(\text{OH})_2]^+$  和  $[\text{Ir}(\text{H}_2\text{O})_5(\text{OH})]^{2+}$ , 式(3)可近似写为

$$D = \frac{K_{ox}[\text{H}_2\text{A}_2]_0^3}{K_1 a_{\text{H}^+}^2 + K_2 a_{\text{H}^+}} = \frac{K_{ox}[\text{H}_2\text{A}_2]_0^3 / K_1}{a_{\text{H}^+}^2 + K_2 a_{\text{H}^+}} \quad (5)$$

将实验数据对式(5)进行拟合, 得

$$K_2 = 5.65 \times 10^{-4}, K_{ox}/K_1 = 5.15 \times 10^{-6}.$$

$K_1$  需在更低的 pH 下求取, 但 pH < 3 时,  $\text{Ir(III)}$  的分配比太低, 故本法无法求得  $K_1$  值。

由上述拟合得到的数据算出  $D$  值随水相 pH 变化的曲线示于图 5 和图 6, 从图可见计算值与实验值符合相当好。本文求得的  $[\text{Ir}(\text{H}_2\text{O})_6]^{3+}$  的  $K_2$  比文献[8]的  $K_2 = 6.30 \times 10^{-6}$  约大两个数量级。 $K_1$  值由  $[\text{M}(\text{H}_2\text{O})_6]^{3+} \ll [\text{M}(\text{H}_2\text{O})_5(\text{OH})]$  估计应大于  $10^{-3}$ , 看来文献[8]的  $K_1 = 4.127 \times 10^{-5}$  可能偏低。

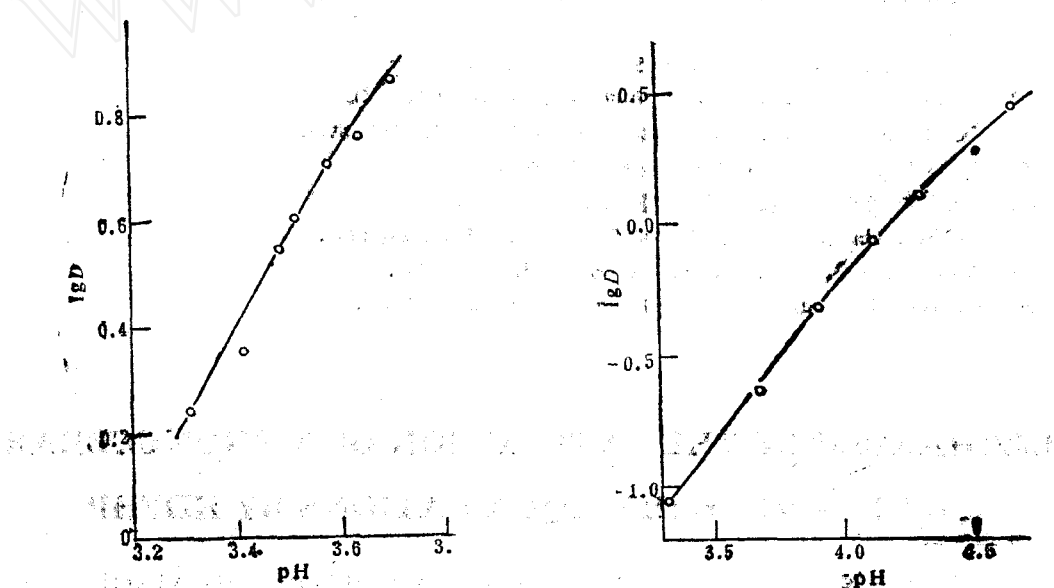


图 5  $\text{Rh(III)}$  分配比与平衡水相 pH 的关系  
 $\mu=1, [\text{H}_2\text{A}_2]_0=0.05\text{M}$ ,  
 O 为实验值, —— 为计算值。

图 6  $\text{Ir(III)}$  分配比与平衡水相 pH 的关系  
 $\mu=1, [\text{H}_2\text{A}_2]_0=0.20\text{M}$ ,  
 O 为实验值, —— 为计算值。

综上所述,  $[\text{Rh}(\text{H}_2\text{O})_6]^{3+}$  与  $[\text{Ir}(\text{H}_2\text{O})_6]^{3+}$  被 HDEHP 萃取的机理与大多数金属离子被 HDEHP 萃取的机理不同, 属于离子缔合萃取。 $\text{Rh(III)}$  和  $\text{Ir(III)}$  是带着配位水进入有机相的, HDEHP 在萃合物中不直接参与配位。可以推知, 磷酸单烷基酯  $\text{P}_{558}^{[3]}$  和二壬基萘磺酸<sup>[2,9]</sup> 萃取  $\text{Rh(III)}$  水合阳离子的机理亦与此类似。

## 参考文献

- [1] Marcus, Y. et al. 编, 青石译, 液-液分配反应的平衡常数——有机磷萃取剂和烷基铵盐萃取剂, 原子能出版社, 1978年。
- [2] 王祥云等, 中国化学会无机化学第二届年会论文摘要汇集, E-10, 屯溪, 1983年9月。
- [3] 刘新起等, 化学学报, 43, 327 (1985) .
- [4] Черняев, И.И., Синтез Комплексных Соединений Металлов Платиновой Группы—Справочник, Издат. «Наука», Москва, 1964.
- [5] Partridge, J.A. et al., *J.Inorg.Nucl.Chem.*, 31, 2587(1969).
- [6] Beamish, F.E. et al., *Analysis of Noble Metals*, Academic Press, 1977, p.113.
- [7] Beutler, P. et al ., *J.Chem. Soc. Chem.Commun.*, 554(1976).
- [8] Gamsjager, H, et al., *J. Chem. Soc. Dalton*, 1415(1979).
- [9] Jørgensen, C.K., *Acta Chem.Scand.*, 10, 503(1956); 11, 151(1957).
- [10] Lever, A.B.P., *Inorganic Electronic Spectroscopy*, 2-nd Ed., Elsevier, 1984, p.748.
- [11] Nakamoto, K., *Infrared Spectra of Inorganic and Coordination Compounds*, John Wiley and Sons, 1963, p.76.
- [12] Nyquist, R.A. et al., *Infrared Spectra of Inorganic Compounds*, Academic Press, 1971, p.337.
- [13] Fujita, J, et al., *J.Am.Chem.Soc.*, 78, 3295(1956).
- [14] Nakagawa, I., et al ., *Spectrochimica Acta*, 20, 429(1964).
- [15] Van der Elsken, J. et al ., *Spectrochimica Acta*, 17, 1249(1961).
- [16] Robb, W. et al ., *Inorg. Chem.*, 6, 616(1967).
- [17] 耿培武等, 北京大学学报(自然科学版), 5, 59(1982) .
- [18] Von Meyenburg, U. et al ., *Helv. Chim. Acta*, 56, 1099(1973).
- [19] Forrester, J.S. et al ., *J.Phys. Chem.*, 63, 1979(1959).
- [20] Alikhan, M. et al ., *J.Less-Common Metals*, 13, 53(1967).

## MECHANISM OF THE EXTRACTION OF MONONUCLEAR Rh(III) AND Ir(III) AQUA CATIONS BY HDEHP

WANG XIANGYUN JIANG MING YE BIAO LIU XINQI

(Department of Technical Physics, Beijing University)

### ABSTRACT

The mechanism of the extraction of mononuclear Rh(III) and Ir(III) aqua cations by HDEHP in benzene is studied with UV-Vis, IR and slope analysis. The experimental results show that both Rh(III) and Ir(III) are extracted as ion-pairs  $[M(H_2O)_6](HA_2)_3$  ( $M=Rh, Ir; HA=HDEHP$ ) into the organic phase.

**Key words** Extraction, Di-(2-ethylhexyl)phosphoric acid, Rhodium, Iridium.